

УДК 549.31,539.23,539.26

## ИССЛЕДОВАНИЕ ПЛЕНОК $ZnS_xSe_{(1-x)}$ РАЗЛИЧНОГО СОСТАВА МЕТОДОМ EXAFS-СПЕКТРОСКОПИИ

© 2013 г. А. Н. Бельгюков<sup>1,2</sup>, Р. Г. Валеев<sup>1,2</sup>, Э. А. Романов<sup>2</sup>, В. В. Кривенцов<sup>3</sup>

E-mail: fcsverema@mail.ru

Методом термического распыления смеси порошков сульфида и селенида цинка в сверхвысоком вакууме получены пленки  $ZnS_xSe_{(1-x)}$  различного состава ( $x = 0.36, 0.68, 0.73$ ). Показано, что полученные пленки близки по химическому составу к исходным материалам. Методом рентгеновской дифракции исследована кристаллическая структура пленок. Методом EXAFS-спектроскопии исследовано локальное атомное окружение атомов селена и цинка.

DOI: 10.7868/S0367676513090056

### ВВЕДЕНИЕ

Достижения в области полупроводников второй половины 1970-х годов привели к реальному развитию такого направления, как “band gap engineering”, т.е. формирование полупроводников с заданной шириной запрещенной зоны. Это связано с тем, что с ней напрямую связана рабочая длина волн оптоэлектронных устройств [1]. Так, в [2] проведены исследования влияния молярного отношения концентраций S/Se на длины волн возбуждения и эмиссии. Было показано, что при увеличении молярного отношения концентраций S/Se от 0 до 100% значение длины волн возбуждения уменьшается с 465 до 340 нм, а значение длины волны эмиссии также уменьшается с 644 до 505 нм. При этом меняется цвет свечения: от красного до зеленого.

Области практического применения соединений  $ZnS_xSe_{(1-x)}$  включают в себя их использование в качестве источников излучения и в фотоэлектрических устройствах, например в солнечных элементах. В частности, корпорацией 3M предложено их использование в лазерных диодах [3]. Данное устройство работает при комнатной температуре, и при токе смещения 2.5 мА эффективность лазера достигает 25%.

Тройные соединения  $ZnS_xSe_{(1-x)}$  получают различными методами: такими как молекуларно-лучевая эпитаксия, лазерная абляция, газофазное осаждение [4–6]. Для осаждения методом лазерной абляции порошки ZnSe и ZnS предваритель-

но тщательно перемешивают в требуемых пропорциях [7]. При разработке методики формирования пленок  $ZnS_xSe_{(1-x)}$  контролируемого состава было высказано предположение, что подход напыления смеси порошков ZnSe и ZnS может быть применен и для метода термического напыления, поэтому данная работа является методической и посвящена исследованиям структуры и свойств тройных соединений  $ZnS_xSe_{(1-x)}$  различного состава, полученных методом термического испарения смеси порошков ZnSe и ZnS в условиях сверхвысокого вакуума.

### 1. ЭКСПЕРИМЕНТАЛЬНАЯ ЧАСТЬ

Пленки тройных соединений  $ZnS_xSe_{(1-x)}$  различного состава были получены методом термического напыления в сверхвысоковакуумной установке, подробно описанной в [8]. Напыление проводилось на подложки из кремния (Si), кварца ( $SiO_2$ ), прозрачно-проводящего слоя (ITO) на кварце и на поваренную соль (NaCl). Температура подложки при напылении составляла 150°C, а рабочий вакуум в камере – не хуже  $10^{-6}$  Па.

В качестве исходного материала для напыления использованы смеси порошков сульфида и селенида цинка, полученных измельчением монокристаллов в агатовой ступке. Атомные концентрации исходных порошков из расчета по массовым долям, а также перечень, маркировка и результаты исследований химического состава полученных образцов методом вторично-ионной масс спектрометрии (ВИМС) представлены в табл. 1, из которой видно, что стехиометрия пленок близка к стехиометрии исходных порошков и не зависит от типа подложки. Это говорит о возможности применения предлагаемой методики для синтеза пленок соединений  $ZnS_xSe_{(1-x)}$  с контролируемым параметром  $x$ .

<sup>1</sup> Федеральное государственное бюджетное учреждение науки Физико-технический институт Уральского отделения Российской академии наук, Ижевск.

<sup>2</sup> Федеральное государственное бюджетное образовательное учреждение высшего профессионального образования “Удмуртский государственный университет”, Ижевск.

<sup>3</sup> Федеральное государственное бюджетное учреждение науки Институт катализа им. Г.К. Борескова Сибирского отделения Российской академии наук, Новосибирск.

**Таблица 1.** Химический состав исходных порошков и синтезированных пленок  $ZnS_xSe_{(1-x)}$ 

Образец	Тип подложки	Атомные концентрации исходных порошков (расчет по массовым долям)			Атомные концентрации пленок (по данным ВИМС)		
		Zn	S	Se	Zn	S	Se
ZnSe_075S_025_Si	Si	1	0.34	0.66	1	0.36	0.64
ZnSe_05Se05_Si	Si	1	0.6	0.4	1	0.68	0.32
ZnSe_025S_075_Si	Si	1	0.82	0.18	1	0.73	0.27
ZnSe_075S_025_SiO <sub>2</sub>	SiO <sub>2</sub>	1	0.34	0.66	1	0.36	0.64
ZnSe_05Se05_SiO <sub>2</sub>	SiO <sub>2</sub>	1	0.6	0.4	1	0.68	0.32
ZnSe_025S_075_SiO <sub>2</sub>	SiO <sub>2</sub>	1	0.82	0.18	1	0.73	0.27
ZnSe_075S_025_ITO	ITO (на SiO <sub>2</sub> )	1	0.34	0.66	1	0.36	0.64
ZnSe_05Se05_ITO	ITO (на SiO <sub>2</sub> )	1	0.6	0.4	1	0.68	0.32
ZnSe_025S_075_ITO	ITO (на SiO <sub>2</sub> )	1	0.82	0.18	1	0.73	0.27
ZnSe_075S_025_NaCl	NaCl	1	0.34	0.66	1	0.36	0.64
ZnSe_05Se05_NaCl	NaCl	1	0.6	0.4	1	0.68	0.32
ZnSe_025S_075_NaCl	NaCl	1	0.82	0.18	1	0.73	0.27

## 2. РЕНТГЕНОВСКАЯ ДИФРАКЦИЯ

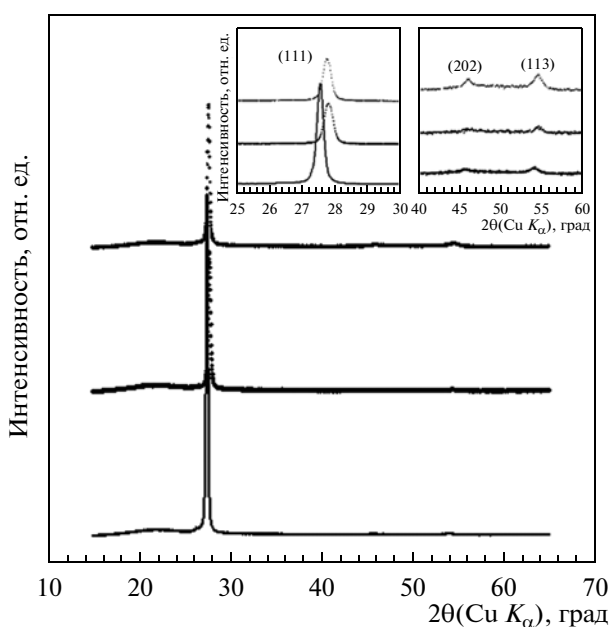
Рентгенодифракционные исследования проводились на дифрактометре D8 Advance (Bruker, Германия) в  $CuK\alpha$ -излучении на образцах, полученных напылением на кварцевую подложку, поскольку она является рентгеноаморфной и при толщинах пленки около 120 нм не оказывает влияния на их структурное состояние.

Пленки кристаллизуются в кубической структуре типа сфалерит. На рис. 1 представлены рентгеновские дифрактограммы всего диапазона сканирования, а также области пиков, соответствующих отражению от кристаллографических плоскостей (111), (202) и (113) (левая и правая вкладки соответственно).

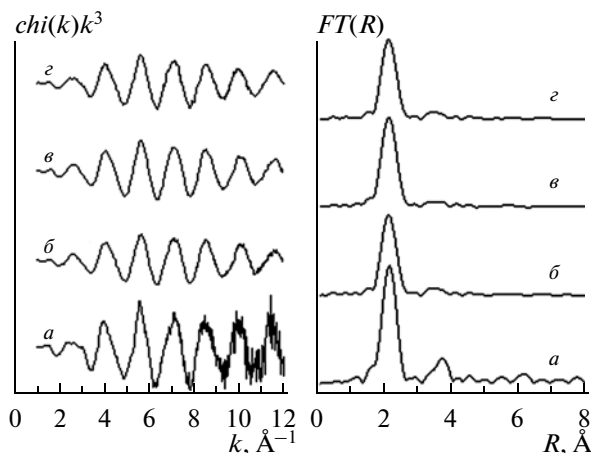
Как видно из рисунка, наблюдаются существенные сдвиги пика (111) для пленок разного состава. С ростом процентного содержания Se в пленках параметр решетки увеличивается. Так, для  $ZnS_{0.73}Se_{0.27}$  параметр решетки —  $a = 5.569 \text{ \AA}$ , для  $ZnS_{0.68}Se_{0.32}$  —  $a = 5.572 \text{ \AA}$ , для  $ZnS_{0.36}Se_{0.64}$  —  $a = 5.612 \text{ \AA}$ .

## 3. EXAFS-СПЕКТРОСКОПИЯ

Спектры EXAFS были получены в режиме выхода флуоресценции в Сибирском центре синхротронного излучения, Новосибирск. В качестве источника рентгеновского излучения использовалось ускорительное кольцо ВЭПП-3 с энергией электронного пучка 2 ГэВ при среднем токе 80 мА. Монохроматизация рентгеновского излучения проводилась с помощью кристалла Si (111). EXAFS-спектры были получены на  $K$ -краях поглощения Zn ( $E_K = 9659 \text{ эВ}$ ) и Se ( $E_K = 12658 \text{ эВ}$ ), диапазоны сканирования по энергии 9550–10450 и 12550–13500 эВ соответственно. Шаг сканирования — 1.5 эВ. Время сканирования в точке — 10 секунд. Спектры поглощения на  $K$ -крае S ( $E_K = 2472 \text{ эВ}$ ) не были получены, поскольку его энергия находится в области “мягкого” рентгеновского излучения и не входит в диапазон энергий, которые можно получить на ВЭПП-3.



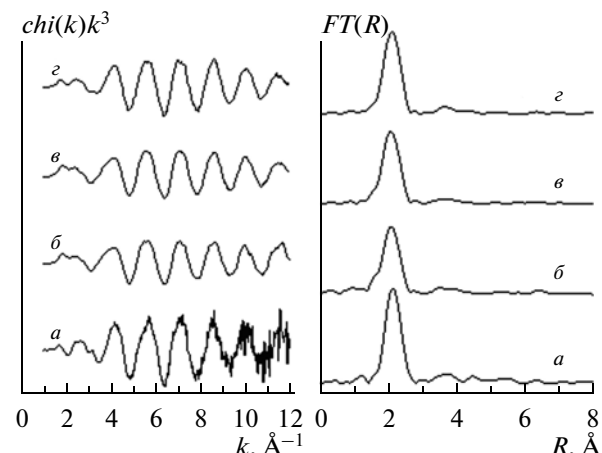
**Рис. 1.** Рентгеновские дифрактограммы пленок, полученных на кварцевой подложке.  $ZnS_{0.36}Se_{0.64}$  (сплошная линия),  $ZnS_{0.68}Se_{0.32}$  (ромбы) и  $ZnS_{0.73}Se_{0.27}$  (кружки).



**Рис. 2.** Нормированные осциллирующие части и фурье-образы EXAFS-спектров на  $K$ -крае Se для пленок ZnSe ( $\alpha$ ) и  $ZnS_{0.73}Se_{0.27}$  ( $\delta$ ),  $ZnS_{0.68}Se_{0.32}$  ( $\sigma$ ),  $ZnS_{0.36}Se_{0.64}$  ( $\varepsilon$ ).

На рис. 2 и 3 представлены нормированные осциллирующие части и их фурье-образы, полученные из EXAFS-спектров поглощения на  $K$ -краях Se (рис. 2) и Zn (рис. 3) для пленок ZnSe и ZnSSe составов  $ZnS_{0.36}Se_{0.64}$ ,  $ZnS_{0.68}Se_{0.32}$ ,  $ZnS_{0.73}Se_{0.27}$ . При увеличении концентрации селена возрастает амплитуда огибающих нормированных осциллирующих частей. На фурье-образах наблюдаются хорошо выраженные пики первой координационной сферы и сильно размытые пики второй.

Параметры локального окружения, рассчитанные методом обратного фурье-преобразования, представлены в табл. 2. Межатомные расстояния первой координационной сферы при изменении состава пленок тройных соединений в пределах ошибок равны и близки к кристаллографическим значениям чистого ZnSe. Координационные числа, совпадая в пределах ошибки, оказываются значительно заниженными. Ощущимое влияние состава сказывается на второй коор-



**Рис. 3.** Нормированные осциллирующие части и фурье-образы EXAFS-спектров на  $K$ -крае Zn для пленок ZnSe ( $\alpha$ ) и  $ZnS_{0.73}Se_{0.27}$  ( $\delta$ ),  $ZnS_{0.68}Se_{0.32}$  ( $\sigma$ ),  $ZnS_{0.36}Se_{0.64}$  ( $\varepsilon$ ).

динационной сфере. С возрастанием количества селена межатомные расстояния увеличиваются, приближаясь к кристаллографическим значениям. При этом в окружении Se количество атомов, в целом оставаясь значительно ниже координационного числа для чистого селенида цинка, увеличивается, а в окружении Zn — уменьшается.

Следует отметить, что по данным краев поглощения только Zn и Se невозможно определить, сколько атомов серы находится в ближайшем окружении цинка и селена, поэтому для координационных сфер атомов, в локальном окружении которых может быть сера, представлены средние значения межатомных расстояний и координационных чисел без разделения вкладов атомов серы и селена. В связи с этим в дальнейшем планируется проведение работ по моделированию структуры исследуемых тройных соединений, а также получение данных на  $K$ -краю серы в условиях "мягкого" рентгеновского излучения.

**Таблица 2.** Межатомные расстояния и координационные числа, рассчитанные методом обратного фурье-преобразования для пар атомов Zn—Zn, Zn—Se(S), Se—Zn и Se—Se(S).  $R_i$  — межатомные расстояния,  $N_i$  — координационные числа

	Se—Zn		Se—Se		Zn—Se		Zn—Zn	
	$R_1$ , Å	$N_1$	$R_2$ , Å	$N_2$	$R_1$ , Å	$N_1$	$R_2$ , Å	$N_2$
Кристалло-графические значения ZnSe	2.450	4	4.00	12	2.450	4	4.00	12
Пленка ZnSe	$2.45 \pm 0.01$	$3.9 \pm 0.5$	$3.99 \pm 0.02$	$7.5 \pm 1.5$	$2.44 \pm 0.01$	$4.0 \pm 0.5$	$3.99 \pm 0.02$	$4.4 \pm 1.5$
$ZnS_{0.36}Se_{0.64}$	$2.44 \pm 0.01$	$2.9 \pm 0.5$	$3.98 \pm 0.02$	$4.2 \pm 1.5$	$2.42 \pm 0.01$	$3.0 \pm 0.5$	$3.98 \pm 0.02$	$3.3 \pm 1.5$
$ZnS_{0.68}Se_{0.32}$	$2.43 \pm 0.01$	$3.4 \pm 0.5$	$3.89 \pm 0.02$	$1.3 \pm 1.5$	$2.41 \pm 0.01$	$2.7 \pm 0.5$	$3.97 \pm 0.02$	$6.3 \pm 1.5$
$ZnS_{0.73}Se_{0.27}$	$2.43 \pm 0.01$	$2.7 \pm 0.5$	$3.71 \pm 0.02$	$1.1 \pm 1.5$	$2.42 \pm 0.01$	$2.5 \pm 0.5$	$3.89 \pm 0.02$	$6.8 \pm 1.5$

## ЗАКЛЮЧЕНИЕ

В работе установлено, что метод термического распыления в сверхвысоком вакууме смеси порошков ZnS и ZnSe позволяет получать пленки тройных соединений  $ZnS_xSe_{(1-x)}$ , химический состав которых хорошо согласуется с составом исходных материалов. Рентгенодифракционные исследования показали, что структура синтезируемых пленок – кубическая, типа сфalerит. Атомы селена, обладая большим ковалентным радиусом, при замещении серы в узлах кристаллической решетки приводят к увеличению периода решетки. При этом с увеличением содержания селена увеличивается и период решетки, приближаясь к кристаллографическим значениям чистого ZnSe. Это подтверждается расчетами EXAFS-спектров. Радиус первой координационной сферы не зависит от химического состава и близок к кристаллографическому значению для селенида цинка, а координационные числа возрастают с увеличением количества Se. Во второй координационной сфере значительно оказывается влияние химического состава как на межатомные расстояния, так и на координационные числа. Параметры локального атомного окружения, связанные с атомами серы, на данном этапе невозможно получить вследствие неполноты экспериментальных данных.

Работа выполнена при использовании оборудования ЦКП СЦСТИ и финансовой поддержке Минобрнауки РФ. Исследования проводились в рамках госконтрактов с министерством образования и науки РФ № 16.513.11.3043, 16.518.11.7019, 02.740.11.0543, проектов программы Президиума РАН и УрО РАН № 12-С-2-1024, 12-П-2-1038, проекта молодых ученых и аспирантов УрО РАН № 11-2-НП-411.

## СПИСОК ЛИТЕРАТУРЫ

1. *Ben Fredj A., Debbichi M.* // Microelectronics J. 2007. V. 38. P. 860.
2. *Abdi-Ben Nasrallah S., Sfina N., Said M.* // Physica E. 2009. V. 41. P. 564.
3. *Prior K.* // III–Vs Review. 1993. V. 6. P. 42.
4. *Lee M.-K., Shih T.-H., Tsay B.-T.* // Semicond. Sci. Technol. 2003. V. 18. P. 1030.
5. *Kumar V., Sharma T.P.* // Opt. Mater. 1998. V. 10. P. 253.
6. *Ambrico M., Smaldone D., Spezzacatena C. et al.* // Semicond. Sci. Technol. 1998. V. 13. P. 1446.
7. *Venkata Subbaiah Y.P., Prathap P., Reddy K.T.R. et al.* // J. Phys. D. 2007. V. 40. P. 3683.
8. *Валеев Р.Г., Крылов П.Н., Романов Э.А.* // Поверхность. Рентген., синхротрон. и нейтр. исслед. 2007. № 1. С. 41.